

本文引用:郭易华,黄志勇,王福东,李龙,李荣东. 新型氨基酸类衍生物的设计、合成及抗肿瘤活性研究[J].湖南中医药大学学报,2022,42(1):55-62.

新型氨基酸类衍生物的设计、合成及抗肿瘤活性研究

郭易华,黄志勇,王福东,李龙,李荣东*
(湖南中医药大学,湖南 长沙 410208)

[摘要] 目的 将氨基酸引入喹唑啉母核, 探究含喹唑啉结构的氨基酸衍生物的抗肿瘤细胞增殖活性。方法 以 DL-苯丙氨酸、L-苯丙氨酸、D-苯丙氨酸和 3-氨基-3-苯基丙酸为原料合成关键中间体, 与喹唑啉母核连接合成一系列 4-苯氨基喹唑啉衍生物。采用 CCK-8 法测试目标化合物对非小细胞肺癌细胞(A549)的抗增殖活性。通过 LeDock 软件测试目标化合物与 EGFR 蛋白的结合效果。**结果** 合成了 21 个新型 4-苯氨基喹唑啉衍生物, 经 ¹H NMR、LC-MS 确证其结构。体外抗肿瘤实验结果表明, 目标化合物 **12u** 与 **12o** 的抗肿瘤活性与阳性对照药吉非替尼相当。LeDock 软件测试结果与体外抗肿瘤实验结果一致。**结论** 新型 4-苯氨基喹唑啉衍生物具有抗非小细胞肺癌的作用, 为进一步探究含喹唑啉的氨基酸抗肿瘤药物打下基础。

[关键词] 氨基酸衍生物; 喹唑啉; 非小细胞肺癌; A549; 细胞增殖; 化学合成

[中图分类号]R284.3

[文献标志码]A

[文章编号]doi:10.3969/j.issn.1674-070X.2022.01.011

Design, synthesis and antitumor activity of novel amino acid derivatives

GUO Yihua, HUANG Zhiyong, WANG Fudong, LI Long, LI Rongdong*

(Hunan University of Chinese Medicine, Changsha, Hunan 410208, China)

[Abstract] **Objective** To introduce amino acids into the quinazoline core to explore the anti-tumor cell proliferation activity of amino acid derivatives containing quinazoline structure. **Methods** DL-phenylalanine, L-phenylalanine, D-phenylalanine and 3-amino-3-phenylpropionic acid were used as raw materials to synthesize key intermediates, which were connected to the quinazoline core to synthesize a series 4-phenylaminoquinazoline derivatives. The CCK-8 method was used to test the anti-proliferative activity of the target compound on non-small cell lung cancer cells (A549). LeDock software was used to test the binding effect of the target compound and EGFR protein. **Results** 21 novel 4-phenylaminoquinazoline derivatives were synthesized, and their structures were confirmed by ¹H NMR and LC-MS. The results of in vitro anti-tumor experiments showed that the antitumor activity of compound **12u** and **12o** was equivalent to that of the positive control drug gefitinib. The LeDock software test results were consistent with the results of in vitro anti-tumor experiments. **Conclusion** The novel 4-phenylaminoquinazoline derivatives have anti-non-small cell lung cancer effects, which lay the foundation for further exploration of quinazoline containing amino acid anti-tumor drugs.

[Keywords] amino acid derivatives; quinazoline; non-small cell lung cancer; A549; cell proliferation; chemical synthesis

肺癌是严重病威胁人们生命的恶性肿瘤之一^[1]。随着表皮生长因子受体(epidermal growth factor receptor, EGFR)、渐变性淋巴瘤激酶(anaplastic lymphoma

kinase, ALK)和神经营养因子受体络氨酸激酶(neurotrophin receptor kinase, NTRK)等几种酪氨酸激酶抑制剂的发展, 肺癌患者的存活率略有改善^[2-4]。

[收稿日期]2021-07-01

[基金项目]湖南中医药大学药学一流学科开放基金重点项目(2021YX01)。

[第一作者]郭易华,女,硕士研究生,研究方向:药物合成。

[通信作者]* 李荣东,男,教授,硕士研究生导师,E-mail: jjdhw12@163.com。

喹唑啉是重要的杂环衍生物,具有抗肿瘤活性^[5-7]。吉非替尼为第一代可逆性EGFR抑制剂,在2003年被美国FDA批准为局部晚期或转移性非小细胞肺癌(non-small cell lung cancer, NSCLC)患者的单一治疗药物^[8]。此外,埃罗替尼和阿法替尼也是用于治疗非小细胞肺癌的EGFR抑制剂^[9-10],且他们都是含喹唑啉结构的上市抗肿瘤药物。氨基酸是构成蛋白质的基本单位,具有良好的生物相容性和亲和性,将其引入药物分子,可提高抗肿瘤活性以及代谢稳定性,增加药物的溶解性,促进细胞对药物的吸收,降低对正常细胞的毒性,为寻求高效、低毒的抗肿瘤药物开辟途径^[11-14]。本文以喹唑啉环为母核,将修饰后的氨基酸与喹唑啉4位连接,并对喹唑啉环6位进行结构改造,设计合成了21个新型含喹唑啉的氨基酸衍生物,并测试其对人肺癌细胞株A549的抗增殖活性。

1 仪器与试药

Water Xevo G2-XS TOF型质谱仪(沃特世科技有限公司);核磁共振波谱仪AVANCE III HD 600

MHz(布鲁克科技有限公司);RE-2000B型旋转蒸发仪(巩义市予华仪器有限公司);DFY-10L型低温恒温反应浴槽(巩义市予华仪器有限公司);SHZ-D(III)循环水式真空泵(巩义市予华仪器有限公司);ZNCL-DL-G2智能磁力搅拌器(爱博特科技有限公司);DB-2BC型真空干燥箱(巩义市予华仪器有限公司);Multiskan MK3型多功能酶标仪(赛默飞世尔科技公司);人肺癌细胞株A549由湖南中医药大学中西医结合心脑疾病防治实验室赠予;吉非替尼 PS18050¹(河南普赛化工产品有限公司)。实验所用试剂均为市售化学纯或分析纯,所有试剂使用前都未作处理。

2 方法与结果

2.1 目标化合物的合成

目标化合物12a~12u的合成方案如图1所示,合成路线分为两部分。第一部分,以DL-苯丙氨酸、L-苯丙氨酸、D-苯丙氨酸以及3-氨基-3-苯基丙酸为起始原料,经乙酰化、硝化、酯化和还原,得到重要中间体5a~5d。第二部分以6-羟基-7-甲氧基-3H-喹唑啉-4-酮为原料,经乙酰化保护羟基,氯化

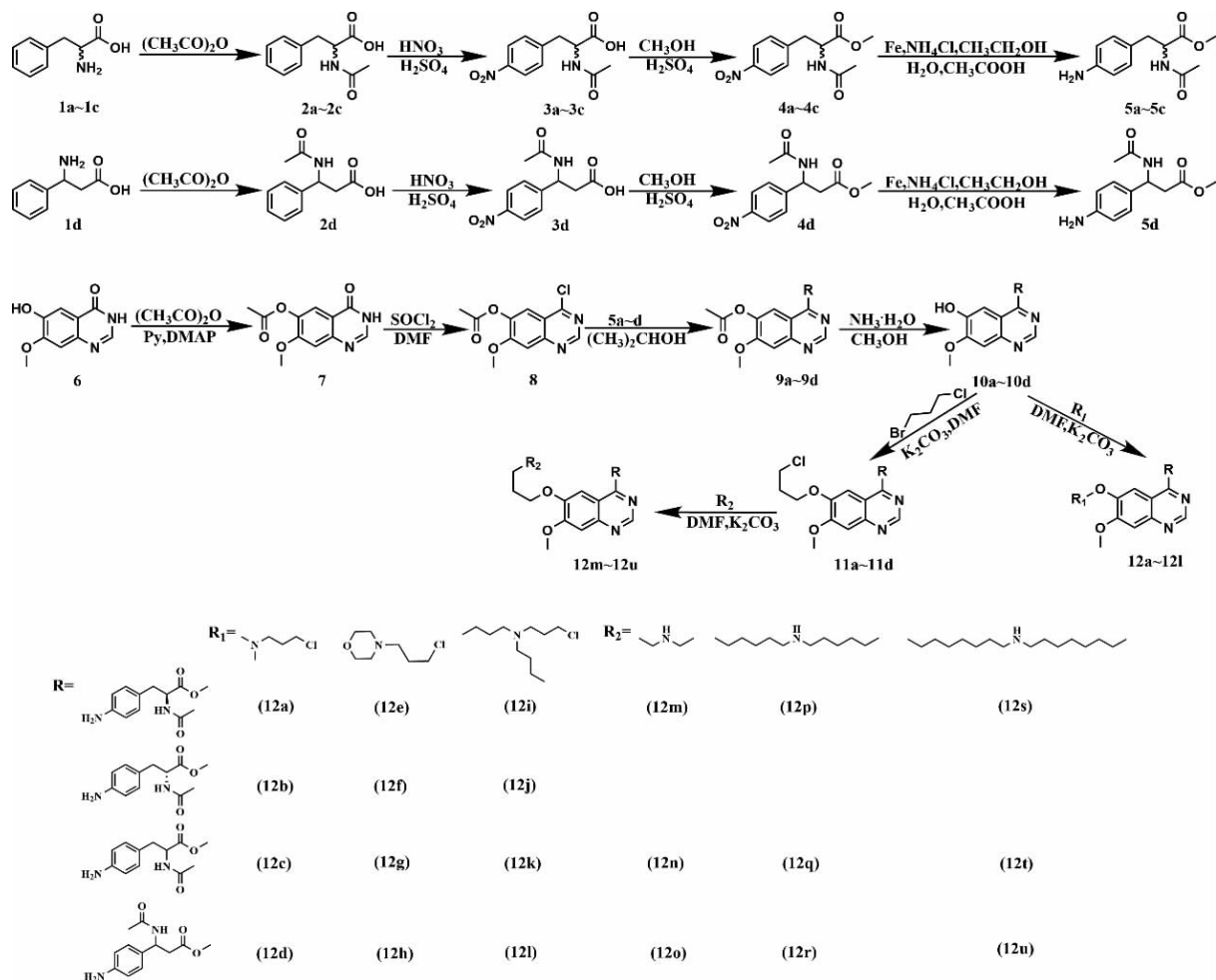


图1 目标化合物的合成方案

亚砜氯化得到 7-甲氧基-6-乙酰氨基-4-氯喹唑啉，然后与第一部分重要中间体对接，脱保护得到重要中间体 **10a~10d**，再对 6 位羟基进行修饰，得到目标化合物 **12a~12u**。

2.1.1 (S)-2-乙酰氨基-3-苯基丙酸(2a)^[15]的制备 *L*-苯丙氨酸(15 g, 0.091 mol)和水(200 mL)室温搅拌10 min，缓慢滴加饱和NaOH水溶液，调节溶液的pH值至苯丙氨酸全溶，缓慢滴加乙酸酐(15 mL)。乙酸酐滴加过程中，由于pH值的改变，*L*-苯丙氨酸析出，滴加饱和NaOH水溶液维持反应液的弱碱性环境(pH=8.0)。室温反应3 h，TLC检测反应完全后，滴加盐酸调节反应液的pH值至2，产物完全析出，抽滤，干燥得白色固体16.6 g，收率：88.2%。

目标化合物 **2b~2d** 的合成方法参照上述方法。

2.1.2 (S)-2-乙酰氨基-3-(4-硝基苯基)丙酸(3a)^[16]的制备 在250 mL烧瓶中缓慢加入98%硫酸(9.6 mL)和67%硝酸(8.0 mL)，控温-20 °C搅拌0.5 h，取出，置于冰浴中搅拌，分批加(S)-2-乙酰氨基-3-苯基丙酸(10 g, 0.048 mol)。18 h后停止反应，将反应液倒入200 mL冰水中，搅拌，产物析出，抽滤，干燥得白色固体6.9 g，收率：56.7%。

目标化合物 **3b~3d** 的合成方法参照上述方法。

2.1.3 (S)-2-乙酰氨基-3-(4-硝基苯基)丙酸甲酯(4a)^[17]的制备 (S)-2-乙酰氨基-3-(4-硝基苯基)丙酸(6 g, 0.024 mol)溶于甲醇(60 mL), 85 °C搅拌0.5 h，缓慢滴加98%浓硫酸(0.84 mL)，回流反应7 h，停止反应，冷却至室温。减压蒸除甲醇，加乙酸乙酯(100 mL)提取，滴加饱和Na₂CO₃溶液，调节pH值至7，水相用乙酸乙酯(50 mL×2)萃取，合并有机相，加水(50 mL×2)洗涤，无水硫酸镁干燥有机相4 h。过滤，滤液减压浓缩，得黄色固体5.8 g，收率：91.6%。

目标化合物 **4b~4d** 的合成方法参照上述方法。

2.1.4 (S)-2-乙酰氨基-3-(4-氨基苯基)丙酸甲酯(5a)^[18]的制备 还原铁粉(11.1 g, 0.199 mol)、氯化铵(0.68 g, 0.013 mol)、乙醇(56 mL)、水(14 mL)和冰醋酸(3.4 mL), 90 °C机械搅拌1.5 h，加入(S)-2-乙酰氨基-3-(4-硝基苯基)丙酸甲酯(5.1 g, 0.019 mol)继续反应3 h。趁热抽滤，滤液减压浓缩，加二氯甲烷(150 mL)提取，加水(50 mL×2)洗涤，无水硫酸镁干燥有机相4 h。过滤，滤液减压浓缩，得黄白色固体3.4 g，收率：75.2%。

目标化合物 **5b~5d** 的合成方法参照上述方法。

2.1.5 7-甲氧基-6-乙酰氨基-4-氯喹唑啉(8)^[19]的制

备 6-羟基-7-甲氧基-4-酮喹唑啉(10 g, 0.052 mol)、乙酸酐(108 mL)和吡啶(22.4 mL), 100 °C搅拌1 h，加入4-二甲氨基吡啶(1.4 g, 0.012 mol)，继续搅拌4 h，停止反应。冷却至室温，倒入冰水(500 mL)搅拌，抽滤，滤饼烘干，得黄白色固体。将其溶于氯化亚砜(107 mL), 80 °C搅拌0.5 h，滴加DMF(4.6 mL, 0.059 mol)。4 h后停止反应，冷却至室温，减压回收氯化亚砜，倒入冰水搅拌，抽滤，烘干滤饼，得灰白色固体10.5 g，收率：80.0%。

2.1.6 (S)-2-乙酰氨基-3-(4-((6-乙酰氨基-7-甲氧基喹唑啉-4-基)氨基)苯基)丙酸甲酯(9a)^[20]的制备 (S)-2-乙酰氨基-3-(4-氨基苯基)丙酸甲酯(3.7 g, 0.016 mol)溶于异丙醇(37 mL), 95 °C搅拌0.5 h，加入7-甲氧基-6-乙酰氨基-4-氯喹唑啉(4.8 g, 0.014 mol)。4 h后趁热抽滤，烘干滤饼，得白色固体5.0 g，收率：70.6%。熔点：199.9~201.2 °C。HRMS(ESI) m/z: 453.1791 [M+H]⁺。

目标化合物 **9b~9d** 的合成方法参照上述方法。

2.1.7 (S)-2-乙酰氨基-3-(4-((6-羟基-7-甲氧基喹唑啉-4-基)氨基)苯基)丙酸甲酯(10a)^[21]的制备 (S)-2-乙酰氨基-3-(4-((6-乙酰氨基-7-甲氧基喹唑啉-4-基)氨基)苯基)丙酸甲酯(3 g, 0.007 mol)溶于甲醇(20 mL), 70 °C搅拌0.5 h，加入氨水(5.2 mL)。5 h后冷却至室温，反应液减压浓缩，得黄色油状物。加入乙酸乙酯(30 mL)搅拌，出现黄色固体，抽滤，烘干滤饼，得黄色固体2.5 g，收率：91.9%。熔点：197.5~198.8 °C。HRMS(ESI) m/z: 411.1613 [M+H]⁺。

目标化合物 **10b~10d** 的合成方法参照上述方法。

2.1.8 (S)-2-乙酰氨基-3-(4-((6-(3-(二甲氨基丙氧基)-7-甲氧基喹唑啉-4-基)氨基)苯基)丙酸甲酯(12a)^[22]的制备 (S)-2-乙酰氨基-3-(4-((6-羟基-7-甲氧基喹唑啉-4-基)氨基)苯基)丙酸甲酯(2.8 g, 0.007 mol)溶于DMF(14 mL), 95 °C搅拌0.5 h，加入碳酸钾(1.2 g, 0.009 mol)、碘化钾(0.02 g)和N,N-二甲基-3-氯丙胺(1.5 mL, 0.011 mol)。继续反应8 h，TLC检测反应完全后，停止反应。冷却至室温，加入冰水(70 mL)，搅拌2 h，抽滤得粗产品。将粗产品溶于甲醇(10 mL)搅拌，缓慢滴加盐酸，有白色固体产生，抽滤，烘干滤饼，得白色固体1.6 g，收率：47.3%。

目标化合物 **12b~12l** 的合成方法参照上述方法。

2.1.9 (S)-2-乙酰氨基-3-(4-((6-(3-氯丙氧基)-7-甲氧基喹唑啉-4-基)氨基)苯基)丙酸甲酯(11a)^[23]的制备 (S)-2-乙酰氨基-3-(4-((6-羟基-7-甲氧基喹唑啉-

啉-4-基)氨基)苯基)丙酸甲酯(2.5 g, 0.006 mol)溶于 DMF(10 mL), 75 °C 搅拌 0.5 h, 加入碳酸钾(1.0 g, 0.007 mol)、碘化钾(0.02 g)和 1,3-溴氯丙烷(0.78 mL, 0.008 mol)。继续反应 8 h, TLC 检测反应完全后, 停止反应。冷却至室温, 加冰水(50 mL), 搅拌 2 h, 抽滤得粗产品, 加丙酮洗涤, 烘干滤饼, 得黄色固体 2.3 g, 收率: 77.4%。熔点: 130.2~131.7 °C。HRMS (ESI) m/z: 487.1737 [M+H]⁺。

目标化合物 **11b~11d** 的合成方法参照上述方法。
2.1.10 (S)-2-乙酰氨基-3-(4-((6-(3-(二乙氨基)丙氧基)-7-甲氧基喹唑啉-4-基)氨基)苯基)丙酸甲酯(12m**)的制备** (S)-2-乙酰氨基-3-(4-((6-(3-氯丙氧基)-7-甲氧基喹唑啉-4-基)氨基)苯基)丙酸甲酯(2.3 g, 0.005 mol)溶于 DMF(10 mL), 95 °C 搅拌 0.5 h, 加入碳酸钾(1.04 g, 0.008 mol)、碘化钾(0.02 g)和二乙胺(0.8 mL, 0.007 mol)。继续反应 8 h, TLC 检测反应完全后, 停止反应。冷却至室温, 加冰水(50 mL), 搅拌 2 h, 抽滤得粗产品。将粗产品溶于甲醇(10 mL), 缓慢滴加盐酸, 有白色固体产生, 抽滤, 烘干滤饼, 得黄白色固体 1.2 g, 收率: 48.8%。

目标化合物 **12n~12u** 的合成方法参照上述方法。

2.2 目标化合物的图谱数据

2.2.1 (S)-2-乙酰氨基-3-(4-((6-(3-(二甲基氨基)丙氧基)-7-甲氧基喹唑啉-4-基)氨基)苯基)丙酸甲酯(12a**)** 白色固体, 收率: 41.6%。熔点: 165.1~167.5 °C。¹H NMR (600 MHz, CD₃OD) δ 8.51 (s, 1H), 7.88 (s, 1H), 7.61 (d, J=8.5 Hz, 2H), 7.30 (d, J=8.4 Hz, 2H), 7.22 (s, 1H), 4.49~4.44 (m, 1H), 4.12 (s, 3H), 3.75 (s, 3H), 3.63~3.60 (m, 2H), 3.24~3.19 (m, 2H), 3.08~3.00 (m, 2H), 1.97 (s, 3H), 1.27 (s, 6H), 0.90~0.87 (m, 2H)。HRMS(ESI) m/z: 496.3410 [M+H]⁺。

2.2.2 (R)-2-乙酰氨基-3-(4-((6-(3-(二甲基氨基)丙氧基)-7-甲氧基喹唑啉-4-基)氨基)苯基)丙酸甲酯(12b**)** 白色固体, 收率: 38.9%。熔点: 153.3~154.5 °C。¹H NMR (600 MHz, CD₃OD) δ 8.58 (s, 1H), 7.90 (s, 1H), 7.63 (d, J=8.2 Hz, 2H), 7.31 (d, J=8.2 Hz, 2H), 7.23 (s, 1H), 4.75~4.71 (m, 1H), 4.12 (s, 3H), 3.73 (s, 3H), 3.33 (s, 6H), 3.30~3.25 (m, 2H), 3.24~3.18 (m, 2H), 3.04~2.95 (m, 2H), 2.48~2.34 (m, 2H), 1.95 (s, 3H)。HRMS(ESI) m/z: 496.3407 [M+H]⁺。

2.2.3 2-乙酰氨基-3-(4-((6-(3-(二甲基氨基)丙氧基)-7-甲氧基喹唑啉-4-基)氨基)苯基)丙酸甲酯

(12c) 白色固体, 收率: 47.3%。熔点: 171.7~174.6 °C。¹H NMR (600 MHz, CD₃OD) δ 8.53 (s, 1H), 7.93 (s, 1H), 7.63 (d, J=8.2 Hz, 2H), 7.30 (d, J=8.4 Hz, 2H), 7.27 (s, 1H), 4.49~4.45 (m, 1H), 4.12 (s, 3H), 3.75 (s, 3H), 3.68~3.62 (m, 2H), 3.23~3.18 (m, 2H), 3.07~3.01 (m, 2H), 1.98 (s, 6H), 1.29~1.25 (m, 2H), 1.21 (s, 3H)。HRMS(ESI) m/z: 496.3421 [M+H]⁺。

2.2.4 3-乙酰氨基-3-(4-((6-(3-(二甲基氨基)丙氧基)-7-甲氧基喹唑啉-4-基)氨基)苯基)丙酸甲酯(12d**)** 白色固体, 收率: 47.3%。熔点: 145.7~146.6 °C。¹H NMR (600 MHz, CD₃OD) δ 8.65 (s, 1H), 8.18 (s, 1H), 7.73 (d, J=8.4 Hz, 2H), 7.45 (d, J=8.4 Hz, 2H), 7.26 (s, 1H), 5.39 (t, J=7.4 Hz, 1H), 4.42 (t, J=4.9 Hz, 2H), 4.09 (s, 3H), 3.66 (s, 3H), 3.47~3.41 (m, 4H), 3.00 (s, 6H), 2.43~2.33 (m, 2H), 1.98 (s, 3H)。HRMS(ESI) m/z: 496.2431 [M+H]⁺。

2.2.5 (S)-2-乙酰氨基-3-(4-((6-(3-吗啉代丙氧基)-7-甲氧基喹唑啉-4-基)氨基)苯基)丙酸甲酯(12e**)** 白色固体, 收率: 36.7%。熔点: 168.0~170.2 °C。¹H NMR (600 MHz, CD₃OD) δ 8.57 (s, 1H), 8.22 (s, 1H), 7.69 (d, J=7.9 Hz, 2H), 7.61 (s, 1H), 7.34 (d, J=8.3 Hz, 2H), 4.53~4.40 (m, 1H), 4.08 (s, 3H), 4.04~3.98 (m, 2H), 3.51~3.41 (m, 4H), 3.35 (s, 3H), 3.30~3.16 (m, 4H), 3.06 (dt, J=13.8, 6.9 Hz, 2H), 2.52~2.40 (m, 2H), 1.98 (s, 3H), 1.20 (t, J=7.0 Hz, 2H)。HRMS(ESI) m/z: 538.2517 [M+H]⁺。

2.2.6 (R)-2-乙酰氨基-3-(4-((6-(3-吗啉代丙氧基)-7-甲氧基喹唑啉-4-基)氨基)苯基)丙酸甲酯(12f**)** 白色固体, 收率: 41.6%。熔点: 153.0~155.2 °C。¹H NMR (600 MHz, CD₃OD) δ 8.59 (s, 1H), 8.23 (s, 1H), 7.70 (d, J=8.4 Hz, 2H), 7.63 (s, 1H), 7.34~7.27 (m, 2H), 4.46 (t, J=5.6 Hz, 1H), 4.09 (s, 3H), 3.99 (t, J=12.2 Hz, 2H), 3.74 (s, 3H), 3.46 (t, J=7.4 Hz, 2H), 3.34 (t, J=1.6 Hz, 4H), 3.24~3.16 (m, 4H), 3.08~2.99 (m, 2H), 2.50~2.42 (m, 2H), 1.98 (s, 3H)。HRMS(ESI) m/z: 538.2521 [M+H]⁺。

2.2.7 2-乙酰氨基-3-(4-((6-(3-吗啉代丙氧基)-7-甲氧基喹唑啉-4-基)氨基)苯基)丙酸甲酯(12g**)** 白色固体, 收率: 33.7%。熔点: 171.0~172.9 °C。¹H NMR (600 MHz, CD₃OD) δ 8.57 (s, 1H), 8.24 (s, 1H), 7.70 (d, J=8.4 Hz, 2H), 7.56 (s, 1H), 7.31 (d, J=7.0 Hz, 2H), 4.46 (t, J=5.2 Hz, 1H), 4.09 (s, 3H), 4.01 (t, J=12.1 Hz, 4H), 3.75 (s, 3H), 3.45 (t, J=7.2 Hz, 2H), 3.37~3.33 (m, 4H), 3.24~3.15 (m, 2H),

3.09–3.04 (m, 2H), 2.47 (t, $J=6.5$ Hz, 2H), 1.98 (s, 3H)。HRMS(ESI) m/z: 538.2553 [M+H]⁺。

2.2.8 3-乙酰氨基-3-(4-((6-(3-吗啉代丙氧基)-7-甲氧基喹唑啉-4-基)氨基)苯基)丙酸甲酯(12h**)** 白色固体, 收率: 41.6%。熔点: 148.5~150.1 °C。¹H NMR (600 MHz, CD₃OD) δ 8.60 (s, 1H), 8.20 (s, 1H), 7.72 (d, $J=8.4$ Hz, 2H), 7.47 (d, $J=8.4$ Hz, 2H), 7.23 (s, 1H), 5.41 (t, $J=7.1$ Hz, 1H), 4.09 (s, 3H), 3.95 (t, $J=12.3$ Hz, 2H), 3.69~3.60 (m, 4H), 3.46 (t, $J=6.7$ Hz, 2H), 3.34 (s, 3H), 2.89 (s, 2H), 2.88~2.78 (m, 2H), 2.53~2.36 (m, 4H), 2.00 (s, 3H)。HRMS(ESI) m/z: 538.2518 [M+H]⁺。

2.2.9 (S)-2-乙酰氨基-3-(4-((6-(3-(二丁基氨基)丙氧基)-7-甲氧基喹唑啉-4-基)氨基)苯基)丙酸甲酯(12i**)** 白色固体, 收率: 46.2%。熔点: 180.4~182.1 °C。¹H NMR (600 MHz, CD₃OD) δ 8.60 (s, 1H), 8.29 (s, 1H), 7.72 (d, $J=8.3$ Hz, 2H), 7.66 (s, 1H), 7.31 (d, $J=8.5$ Hz, 2H), 4.46 (t, $J=5.0$ Hz, 1H), 4.09 (s, 3H), 3.74 (s, 3H), 3.45 (t, $J=7.4$ Hz, 2H), 3.34 (t, $J=1.6$ Hz, 4H), 3.24~3.17 (m, 2H), 3.09~3.01 (m, 2H), 1.97 (s, 3H), 1.84~1.70 (m, 4H), 1.53~1.40 (m, 4H), 1.29~1.23 (m, 2H), 1.04 (t, $J=7.3$ Hz, 6H)。HRMS(ESI) m/z: 580.3360 [M+H]⁺。

2.2.10 (R)-2-乙酰氨基-3-(4-((6-(3-(二丁基氨基)丙氧基)-7-甲氧基喹唑啉-4-基)氨基)苯基)丙酸甲酯(12j**)** 白色固体, 收率: 46.2%。熔点: 171.9~173.8 °C。¹H NMR (600 MHz, CD₃OD) δ 8.57 (s, 1H), 8.32 (s, 1H), 7.71 (d, $J=8.2$ Hz, 2H), 7.31 (d, $J=8.8$ Hz, 2H), 7.27 (s, 1H), 4.46 (t, $J=6.3$ Hz, 1H), 4.09 (s, 3H), 3.75 (s, 3H), 3.47~3.44 (m, 2H), 3.24~3.22 (m, 4H), 3.20~3.19 (m, 2H), 2.43~2.38 (m, 2H), 1.98 (s, 3H), 1.82~1.74 (m, 4H), 1.64~1.61 (m, 2H), 1.51~1.44 (m, 4H), 1.03 (t, $J=7.4$ Hz, 6H)。HRMS(ESI) m/z: 580.3364 [M+H]⁺。

2.2.11 2-乙酰氨基-3-(4-((6-(3-(二丁基氨基)丙氧基)-7-甲氧基喹唑啉-4-基)氨基)苯基)丙酸甲酯(12k**)** 白色固体, 收率: 51.2%。熔点: 184.2~186.6 °C。¹H NMR (600 MHz, CD₃OD) δ 8.63 (s, 1H), 8.25 (s, 1H), 7.71 (d, $J=8.4$ Hz, 2H), 7.32 (d, $J=8.4$ Hz, 2H), 7.28 (s, 1H), 4.44 (t, $J=5.5$ Hz, 1H), 4.09 (s, 3H), 3.73 (s, 3H), 3.49~3.41 (m, 2H), 3.35~3.30 (m, 4H), 3.25~3.18 (m, 2H), 3.07~2.99 (m, 2H), 2.42~2.32 (m, 2H), 1.96 (s, 3H), 1.82~1.71 (m, 4H), 1.52~

1.39 (m, 4H), 1.03 (t, $J=7.4$ Hz, 6H)。HRMS(ESI) m/z: 580.3368 [M+H]⁺。

2.2.12 3-乙酰氨基-3-(4-((6-(3-(二丁基氨基)丙氧基)-7-甲氧基喹唑啉-4-基)氨基)苯基)丙酸甲酯(12l**)** 白色固体, 收率: 43.3%。熔点: 152.6~153.9 °C。¹H NMR (600 MHz, CD₃OD) δ 8.64 (s, 1H), 8.21 (s, 1H), 7.74 (d, $J=8.4$ Hz, 2H), 7.45 (d, $J=8.4$ Hz, 2H), 7.27 (s, 1H), 5.40 (t, $J=7.4$ Hz, 1H), 4.43 (s, 3H), 4.14~4.09 (m, 2H), 4.08 (s, 3H), 3.46 (t, $J=7.7$ Hz, 2H), 2.90~2.80 (m, 2H), 2.40~2.35 (m, 4H), 1.98 (s, 3H), 1.51~1.43 (m, 8H), 1.22 (t, $J=7.1$ Hz, 2H), 1.03 (t, $J=7.4$ Hz, 6H)。HRMS(ESI) m/z: 580.3367 [M+H]⁺。

2.2.13 (S)-2-乙酰氨基-3-(4-((6-(3-(二乙氨基)丙氧基)-7-甲氧基喹唑啉-4-基)氨基)苯基)丙酸甲酯(12m**)** 白色固体, 收率: 40.4%。熔点: 176.3~177.9 °C。¹H NMR (600 MHz, CD₃OD) δ 8.43 (s, 1H), 7.79 (s, 1H), 7.51 (d, $J=8.2$ Hz, 2H), 7.24 (d, $J=8.3$ Hz, 2H), 7.09 (s, 1H), 4.48 (t, $J=4.9$ Hz, 1H), 3.97 (s, 3H), 3.44~3.38 (m, 2H), 3.38 (s, 3H), 3.34~3.27 (m, 4H), 3.23~3.18 (m, 2H), 3.10~3.01 (m, 2H), 2.56~2.48 (m, 2H), 1.97 (s, 3H), 1.41 (t, $J=7.3$ Hz, 6H)。HRMS(ESI) m/z: 524.2720 [M+H]⁺。

2.2.14 2-乙酰氨基-3-(4-((6-(3-(二乙氨基)丙氧基)-7-甲氧基喹唑啉-4-基)氨基)苯基)丙酸甲酯(12n**)** 黄白色固体, 收率: 48.8%。熔点: 179.9~181.8 °C。¹H NMR (600 MHz, CD₃OD) δ 8.51 (s, 1H), 7.67 (s, 1H), 7.66 (d, $J=8.5$ Hz, 2H), 7.30 (d, $J=8.2$ Hz, 2H), 7.22 (s, 1H), 4.81~4.73 (m, 1H), 4.16~4.08 (m, 2H), 4.06 (s, 3H), 3.39 (s, 3H), 3.30~3.23 (m, 4H), 3.10~3.04 (m, 2H), 2.57 (t, $J=6.2$ Hz, 2H), 1.98 (s, 3H), 1.31~1.24 (m, 6H), 0.93~0.80 (m, 2H)。HRMS(ESI) m/z: 524.2716 [M+H]⁺。

2.2.15 3-乙酰氨基-3-(4-((6-(3-(二乙氨基)丙氧基)-7-甲氧基喹唑啉-4-基)氨基)苯基)丙酸甲酯(12o**)** 白色固体, 收率: 40.4%。熔点: 166.6~168.3 °C。¹H NMR (600 MHz, CD₃OD) δ 8.41 (s, 1H), 7.85 (s, 1H), 7.64 (d, $J=8.5$ Hz, 2H), 7.39 (d, $J=8.5$ Hz, 2H), 7.11 (s, 1H), 5.41~5.35 (m, 1H), 4.50 (t, $J=5.9$ Hz, 2H), 4.03 (s, 3H), 3.97 (s, 3H), 3.45~3.44 (m, 2H), 2.87~2.77 (m, 4H), 2.53~2.49 (m, 2H), 2.02~1.97 (m, 6H), 1.41 (t, $J=7.2$ Hz, 2H), 1.28 (s, 3H)。HRMS(ESI) m/z: 524.2868 [M+H]⁺。

2.2.16 (*S*)-2-乙酰氨基-3-(4-((6-(3-(二己基氨基)丙氧基)-7-甲氧基喹唑啉-4-基)氨基)苯基)丙酸甲酯(**12p**) 白色固体,收率:45.4%。熔点:186.3~188.9 °C。¹H NMR (600 MHz, CD₃OD) δ 8.41 (s, 1H), 7.80 (s, 1H), 7.52 (d, *J*=8.4 Hz, 2H), 7.25 (d, *J*=8.4 Hz, 2H), 7.10 (s, 1H), 4.64~4.61 (m, 1H), 4.48 (t, *J*=4.8 Hz, 2H), 3.96 (s, 3H), 3.38 (s, 3H), 3.35~3.33 (m, 16H), 3.22~3.18 (m, 2H), 3.07~3.01 (m, 2H), 2.50 (t, *J*=5.9 Hz, 4H), 1.97~1.96 (m, 6H), 1.95~1.93 (m, 2H), 1.28 (s, 3H)。HRMS(ESI) m/z: 636.4132 [M+H]⁺。

2.2.17 2-乙酰氨基-3-(4-((6-(3-(二己基氨基)丙氧基)-7-甲氧基喹唑啉-4-基)氨基)苯基)丙酸甲酯(**12q**) 白色固体,收率:40.5%。熔点:191.1~193.6 °C。¹H NMR (600 MHz, CD₃OD) δ 8.58 (s, 1H), 8.12 (s, 1H), 7.64 (d, *J*=8.3 Hz, 2H), 7.34 (d, *J*=8.4 Hz, 2H), 7.20 (s, 1H), 4.75~4.72 (m, 1H), 4.54 (t, *J*=5.9 Hz, 2H), 4.08 (s, 3H), 4.04 (s, 3H), 3.89~3.82 (m, 2H), 3.35~3.31 (m, 16H), 3.30~3.19 (m, 4H), 3.02~3.00 (m, 2H), 1.95 (s, 3H), 1.28 (t, 6H), 0.95~0.87 (m, 2H)。HRMS(ESI) m/z: 636.4010 [M+H]⁺。

2.2.18 3-乙酰氨基-3-(4-((6-(3-(二己基氨基)丙氧基)-7-甲氧基喹唑啉-4-基)氨基)苯基)丙酸甲酯(**12r**) 白色固体,收率:48.5%。熔点:191.3~192.9 °C。¹H NMR (600 MHz, CD₃OD) δ 8.61 (s, 1H), 8.22 (s, 1H), 7.71 (d, *J*=8.2 Hz, 2H), 7.43 (d, *J*=8.3 Hz, 2H), 7.23 (s, 1H), 5.57~5.17 (m, 1H), 4.55 (t, *J*=5.5 Hz, 2H), 4.04 (s, 3H), 3.67 (s, 3H), 3.66~3.60 (m, 4H), 3.35~3.31 (m, 8H), 3.00~2.76 (m, 10H), 1.99 (s, 3H), 1.41~1.33 (m, 2H), 1.19 (t, *J*=7.0 Hz, 6H), 0.93 (t, *J*=6.9 Hz, 2H)。HRMS(ESI) m/z: 636.4010 [M+H]⁺。

2.2.19 (*S*)-2-乙酰氨基-3-(4-((6-(3-(二辛基氨基)丙氧基)-7-甲氧基喹唑啉-4-基)氨基)苯基)丙酸甲酯(**12s**) 白色固体,收率:43.3%。熔点:202.6~204.1 °C。¹H NMR (600 MHz, CD₃OD) δ 8.43 (s, 1H), 7.82 (s, 1H), 7.54 (d, *J*=8.4 Hz, 2H), 7.27 (d, *J*=8.3 Hz, 2H), 7.10 (s, 1H), 4.69~4.65 (m, 1H), 4.50 (s, 3H), 3.98 (s, 3H), 3.46~3.44 (m, 2H), 3.36~3.31 (m, 24H), 3.24~3.18 (m, 2H), 3.08~3.00 (m, 4H), 2.55~2.44 (m, 2H), 1.98~1.94 (m, 6H), 1.28 (s, 3H), 0.96~0.77 (m, 2H)。HRMS(ESI) m/z: 692.4746 [M+H]⁺。

2.2.20 2-乙酰氨基-3-(4-((6-(3-(二辛基氨基)丙氧基)-7-甲氧基喹唑啉-4-基)氨基)苯基)丙酸甲酯(**12t**) 白色固体,收率:44.5%。熔点:206.0~208.9 °C。

¹H NMR (600 MHz, CD₃OD) δ 8.20 (s, 1H), 7.90 (s, 1H), 7.75 (d, *J*=7.6 Hz, 2H), 7.64 (d, *J*=7.4 Hz, 2H), 7.54 (s, 1H), 4.16~4.14 (m, 1H), 4.11~4.08 (m, 2H), 3.74 (s, 3H), 3.57 (s, 3H), 3.46~3.43 (m, 2H), 3.39~3.33 (m, 24H), 3.22~3.21 (m, 4H), 2.70 (s, 2H), 1.30~1.25 (m, 6H), 0.89 (s, 3H), 0.87~0.86 (m, 2H)。HRMS(ESI) m/z: 692.3880 [M+H]⁺。

2.2.21 3-乙酰氨基-3-(4-((6-(3-(二辛基氨基)丙氧基)-7-甲氧基喹唑啉-4-基)氨基)苯基)丙酸甲酯(**12u**) 白色固体,收率:43.2%。熔点:199.7~201.4 °C。¹H NMR (600 MHz, CD₃OD) δ 8.39 (s, 1H), 7.81 (s, 1H), 7.63 (d, *J*=7.8 Hz, 2H), 7.39 (d, *J*=7.5 Hz, 2H), 7.11 (s, 1H), 5.38~5.34 (m, 1H), 4.48 (s, 3H), 3.96 (s, 3H), 3.33 (s, 24H), 3.03~2.98 (m, 2H), 2.90~2.85 (m, 2H), 2.82~2.73 (m, 4H), 2.53~2.48 (m, 2H), 2.01~1.95 (m, 6H), 1.32~1.24 (m, 2H), 0.88 (s, 3H)。HRMS(ESI) m/z: 692.4747 [M+H]⁺。

2.3 体外抗肿瘤活性实验

采用 CCK-8 法测定目标化合物 **12a~12u** 对非小细胞肺癌细胞 A549 的体外抗肿瘤增殖实验,以吉非替尼为阳性对照药物。将处于对数生长期的 A549 癌细胞消化种子于 96 孔板中(8×10^4 个·mL⁻¹),置于 37 °C、5% CO₂ 条件下的培养箱中贴壁培养 24 h,弃去原培养基。设置空白对照组、阳性药对照组以及药物组,按照浓度梯度 0.5、1、5、10、25、50、100 μmol/L 给药(每个药物浓度设 6 个复孔),每孔 100 μL,置于 37 °C、5% CO₂ 培养箱中培养(一块 96 孔板测定 1 个目标化合物,且每块板均有阳性对照物)。细胞培养 48 h 后,每孔加入 CCK-8 10 μL 培养基置于培养箱中继续培养 1 h 后,用酶标仪在 450 nm 波长下测其 OD 值,并计算各化合物的 IC₅₀ 值。IC₅₀ 值见表 1。

表 1 目标化合物对人 A549 肺癌细胞的生长抑制作用

目标化合物	IC ₅₀ /(μmol·L ⁻¹)	目标化合物	IC ₅₀ /(μmol·L ⁻¹)
吉非替尼	28.37	12k	189.65
12a	87.93	12l	159.75
12b	>500	12m	178.62
12c	>500	12n	>500
12d	59.02	12o	35.5
12e	60.25	12p	68.15
12f	>500	12q	>500
12g	>500	12r	118.35
12h	162.78	12s	162.59
12i	61.05	12t	>500
12j	>500	12u	34.94

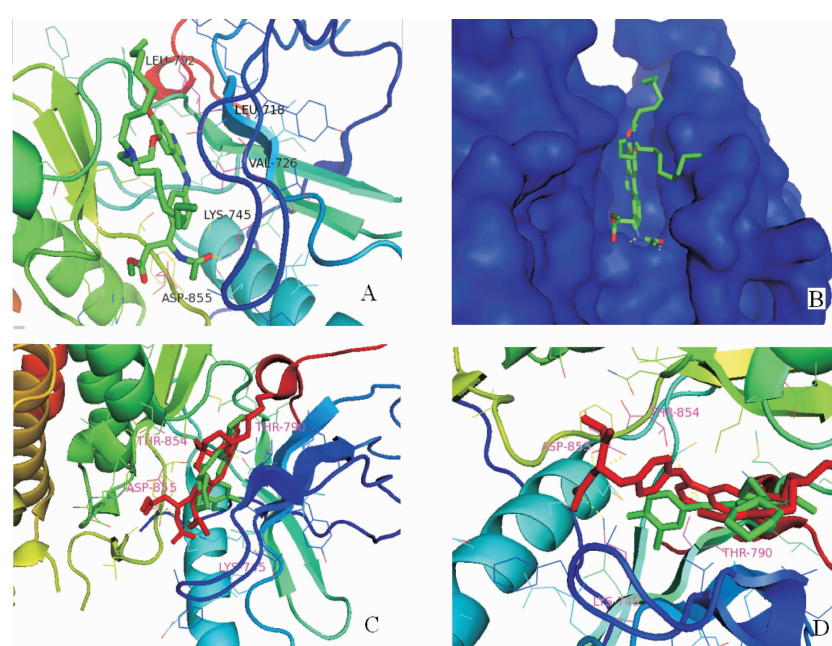
2.4 目标化合物的分子对接

查阅文献并从 RCSB^[20]蛋白库网站(<https://www.rcsb.org/>)获取 EGFR 蛋白的 X-衍射晶体结构(PDB 编号为 2ITY^[21]), 利用 LeDock 软件对目标化合物和 EGFR 进行分子对接。(1)利用 Chemdraw 3D 软件对目标化合物进行能量优化, 并保存为 mol2 格式。(2)根据下载的 EGFR 蛋白分子的配体的位置确定对接盒子的对接参数。(3)通过 LeDock 软件进行分子对接, 得出目标化合物与 EGFR 蛋白分子的最低结合自由能(表 2)。(4)通过 Pymol 软件展示和分析目标化合物与 EGFR 蛋白分子对接的具体情况。对接结果表明, 大部分目标化合物都是与氨基酸残基 ASP-855 和 LYS-745 形成氢键, 少部分与氨基酸残基 ASP-800、LYS-716 和 LYS-728 形成氢键。L 构型的目标化合物的最低结合自由能 $\Delta G(\text{kcal}\cdot\text{mol}^{-1})$ 普遍比 DL 构型和 D 构型的目标化合物高。其中目标化合物 **12u** 的最低结合自由能最小 $\Delta G=-9.13 \text{ kcal}\cdot\text{mol}^{-1}$, 它能很好地插入蛋白的结合口袋并与不同的氨基酸发生相互作用, 主要为疏水作用和氢键作用(图 2A-B)。**12u** 结构中乙酰基部分的氮和氧分别与 ASP-855 和 LYS-745 形成氢键, 碳链和苯环部分与 VAL-726、LEU-718 和 LEU-792 形成疏水作用。与活性最差的目标化合物 **12q** 相比, 尽管目标化合物 **12u**/吉非替尼(图 2C)与目标化合物 **12q**/吉非替尼(图 2D)对接叠合的整体结构相似, 但苯环上侧链之间的相对位置略有变化, **12u**/吉非替尼对接叠合比

12q/吉非替尼对接叠合更紧密, 能更加严密地镶嵌在靶点中。LeDock 软件对接结果与体外抗肿瘤活性实验结果基本符合, 推测目标化合物的作用靶点为 EGFR 蛋白。

表 2 目标化合物与 2ITY 靶蛋白 LeDock 对接结果

化合物	最低结合自由能/(kcal·mol ⁻¹)	与化合物生成氢键的残基
12a	-8.48	ASP-855/LYS-745
12b	-7.84	ASP-855
12c	-8.27	ASP-855/LYS-745
12d	-8.14	ASP-855/LYS-745
12e	-8.71	ASP-855/LYS-745
12f	-8.45	ASP-800
12g	-8.36	ASP-855/LYS-745
12h	-8.27	ASP-855/LYS-745
12i	-8.63	ASP-855/LYS-745
12j	-8.51	ASP-800
12k	-8.77	ASP-855/LYS-745
12l	-8.58	ASP-855/LYS-745
12m	-8.70	ASP-855/LYS-745
12n	-8.26	ASP-855/LYS-745
12o	-8.34	ASP-855/LYS-745
12p	-8.96	ASP-855
12q	-7.50	ASP-855/LYS-745
12r	-8.77	ASP-855
12s	-9.11	ASP-855/LYS-745
12t	-8.50	LYS-716/LYS-728
12u	-9.13	ASP-855/LYS-745
吉非替尼	-8.12	THR-790/THR-854



注:A、B 为目标化合物 **12u** 与 2ITY 靶蛋白对接结果;C 为 **12u** 与吉非替尼对接叠合结果;D 为 **12q** 与吉非替尼对接叠合结果

图 2 目标化合物的对接结果

3 讨论

本文以 *D,L*-苯丙氨酸、*L*-苯丙氨酸、*D*-苯丙氨酸和 3-氨基-3-苯基丙酸为原料,经乙酰化、硝化、酯化和还原,得到 4 个重要中间体,通过氨基将中间体引入 7-甲氧基-6-乙酰氨基-4 氯喹唑啉的 4 位,并对喹唑啉 6 位羟基脱保护后进行修饰得到 21 个目标化合物,经 ¹H NMR、LC-MS 进行结构表征。

CCK-8 法体外抗肿瘤活性实验结果表明,与 *D,L* 构型和 *D* 构型目标化合物相比, *L* 构型目标化合物的抗肿瘤活性更好,这可能是因为 *L* 构型的目标化合物是由 *L*-苯丙氨酸合成的,而 *L*-苯丙氨酸是人体必需氨基酸。通过对 *L* 构型目标化合物的 IC₅₀,发现抗肿瘤效果 **12e>12i>12p>12a>12m, 12s**,其 C-6 位的取代基分别为 3-吗啉丙氧基、3-二丁胺丙氧基、3-二己胺丙氧基、3-二甲胺丙氧基、3-二乙胺丙氧基、3-二辛胺丙氧基。而由 3-氨基-3-苯基丙酸合成的目标化合物的抗肿瘤活性与 *L* 构型目标化合物恰好相反,其抗肿瘤效果 **12u>12o>12d>12r>12l, 12h**,其 6 位的取代基分别为 3-二辛胺丙氧基、3-二乙胺丙氧基、3-二甲胺丙氧基、3-二己胺丙氧基、3-二丁胺丙氧基、3-吗啉丙氧基。其中 **12u** 和 **12o** 的抗肿瘤活性与阳性对照药吉非替尼相当。分子对接结果表明 21 个目标化合物与 EGFR 蛋白均有较好的结合效果,目标化合物最低结合自由能与体外抗肿瘤活性实验结果基本一致。

4 结论

设计、合成了一系列含喹唑啉的氨基酸抗肿瘤衍生物,通过喹唑啉与氨基酸衍生物连接,并对喹唑啉结构进行修饰得到 21 个目标化合物,通过 ¹H NMR、LC-MS 认证其结构。通过体外抗肿瘤活性实验,发现目标化合物 **12u** 和 **12o** 的抗肿瘤活性与阳性对照药吉非替尼相当,分子对接结果与体外抗肿瘤活性基本一致,为开发新型含喹唑啉结构的氨基酸抗肿瘤药物提供新思路。

参考文献

- [1] NASIM F, SABATH B F, EAPEN G A. Lung cancer[J]. Medical Clinics of North America, 2019, 103(3): 463–473.
- [2] DUMA N, SANTANA-DAVILA R, MOLINA J R. Non-small cell lung cancer: Epidemiology, screening, diagnosis, and treatment[J]. Mayo Clinic Proceedings, 2019, 94(8): 1623–1640.
- [3] YONEDA K, IMANISHI N, ICHIKI Y, et al. Treatment of non-small cell lung cancer with EGFR-mutations[J]. Journal of UOEH, 2019, 41(2): 153–163.
- [4] ROSKOSKI R Jr. Properties of FDA-approved small molecule protein kinase inhibitors: A 2020 update[J]. Pharmacological Research, 2020, 152: 104609.
- [5] ZAYED M F. New fluorinated quinazolinone derivatives as anti-convulsant agents[J]. Journal of Taibah University Medical Sciences, 2014, 9(2): 104–109.
- [6] SHARMA M J, KUMAR M S, MURAHARI M, et al. Synthesis of novel gefitinib-based derivatives and their anticancer activity[J]. Archiv Der Pharmazie, 2019, 352(5): e1800381.
- [7] 黄 珍,方宇希,黄志勇,等.新型 TOPK 抑制剂的设计、合成及抗肿瘤活性研究[J].湖南中医药大学学报,2020,40(3):298–304.
- [8] COHEN M H, WILLIAMS G A, SRIDHARA R, et al. FDA drug approval summary: Gefitinib (ZD1839) (Iressa) tablets[J]. The Oncologist, 2003, 8(4): 303–306.
- [9] ABDELGALIL A A, AL-KAHTANI H M, AL-JENOABI F I. Erlotinib[M]//Profiles of Drug Substances, Excipients and Related Methodology. Amsterdam: Elsevier, 2020: 93–117.
- [10] WECKER H, WALLER C F. Afatinib[J]. Small Molecules in Oncology, 2018: 199–215.
- [11] GARRETT A R, WEAGEL E G, MARTINEZ A D, et al. A novel method for predicting antioxidant activity based on amino acid structure[J]. Food chemistry, 2014, 158: 490–496.
- [12] 黄志勇,郭易华,黄 珍,等.氨基酸在抗肿瘤中药有效成分结构修饰中的应用[J].中国现代应用药学,2021,38(10):1275–1280.
- [13] 金玉坤,陆 伟,罗 雁.不平衡氨基酸的研究进展[J].医学综述, 2010,16(11):1647–1649.
- [14] HOSIOS A M, HECHT V C, DANAI L V, et al. Amino acids rather than glucose account for the majority of cell mass in proliferating mammalian cells[J]. Developmental Cell, 2016, 36 (5): 540–549.
- [15] 余 焰,廉 翔,韩 生,等.一种安普那韦中间体的制备方法,中国,105348224A[P].2016-02-24.
- [16] MAITY S K, KUMAR R, AMBAST D K, et al. Self-assembly and nonlinear optical properties of a synthetic dipeptide [J]. Journal of Materials Chemistry, 2012, 22(41): 22198–22203.
- [17] 陈 翊,吴生文,李文革,等.一种 Melphalan 中间体及其制备方法,中国,110041214A[P].2019-07-23.
- [18] MAITY S, KUMAR R, MAITY S K, et al. Synthesis and study of 2-acetyl amino-3-[4-(2-amino-5-sulfo-phenylazo)-phenyl]-propionic acid: a new class of inhibitor for hen egg white lysozyme amyloidogenesis[J]. MedChemComm, 2013, 4(3): 530–536.
- [19] 刘 霞,苏长会.一种喹唑啉衍生物及其制备方法:106045980A[P].2016-10-26.
- [20] ROSE P W, PRLLIĆ A, BI C, et al. The RCSB Protein Data Bank: views of structural biology for basic and applied research and education[J]. Nucleic acids research, 2015, 43(D1): D345–356.
- [21] YUN C H, BOGGON T J, LI Y, et al. Structures of lung cancer-derived EGFR mutants and inhibitor complexes: mechanism of activation and insights into differential inhibitor sensitivity[J]. Cancer Cell, 2007, 11(3): 217–227.